

Cu B_x

Tin (TiB₂; ZrB₂; VB₂; NbB₂; TaB₂); VII 5609
CrB; CrB₂; Mo₂B; NiOB₂; W₂B; WB 1052

Kieffer R., Benesovsky F., Horaček E.,

Z. anorg. und allgem. Chem.
1952, 268, 191-200

"A new method for the preparation of the metal borides of the transition metals" |ECTB ф. к.

5 C.A., 1952, 8999 f

VII 1031 1954

Tm(CrB₂, VB₂, TiB₂, MoB₂,
TaB₂, NbB₂, HfB₂, ZrB₂)

Post B., Glaser F.W., Moskowitz D.

Acta metallurgica, 1954, 2, N1, 20-25.

Transition metal diborides.

RX., 1955, N15, 32378 Be

lemis q.k

TiBr₂, ZrB₂, W₂B, CrB₂(Hf, Cp,

1955
VII 906

S₂₉₈)
Brewer L., Haraldsen H.

J. Electrochem. Soc., 1955, 102, N7, 399-406.

The thermodynamic stability of refractory borides.

RX., 1957, 29883

M

ECTB C. H.

VII 2750 1956

ZrB₂, CrB₂ (Δ Hf)

Самсонов Г.В.

Ж.Физ.химии, 1956, 30, №9, 2057-60.

Теплоты образования боридов
некоторых переходных металлов.

$$\Delta H_{\text{обр}} = 19,0$$

rx., 1957, 50661 M

1957

Эмельбаум И.В.А., Севастийчиков и др.

Ср,
титул с № 8, 1848-1854.

Добавки в Оригинах, образующих в сцеплении
Худ.и-Бор. 1 Образование „В-хрома“
под влиянием различных добавок
Бора.

X- 58-7-20621

ВФ - 1905 - VII

Красильников А. Г.

1957

CrB₂

Венчарук А. С.

Сб. научн. пр. Моск. ин-та геол.

лит. и горн., научно-техн.

0-го звена. Института

1957, № 30, 135-137.

Теплоемкость борида хрома

300-800°C

$$C_p = 11,95 + 1,517 \cdot 10^{-2} t$$

X-19-58-63661

Cr

Cr-B

Ильинский В.А., и др. 1958

Ж. геол. и геофиз. эксперим., 1958,
3, № 11, 2545-2552.

6 разах, образующихся в
сочетании сорта - бор.

X-59-10-33984.

1959

C_zB₂

?

Heat capacity of chromium boride. A. N. Krestovnikov and M. S. Vendrikh (Inst. Non-ferrous Metals and Gold, Moscow). *Chistye Metal. i Poluprovod., Trudy 1-oi [Pervoi] Mezhvuz. Konf., Moscow 1957*, 165-71(Pub. 1959).—The heat capacity of chromium boride contg. Cr 70, B 29.9, C 0.05, and Fe 0.40% was detd. in the temp. range of 300-1000°K. by calorimetric methods. The values changed from 12.36 to 22.99 kcal./mole with an increase in temp. from 300 to 1000°K. Although the heat capacity detd. agreed well over the 300-800°K. temp. range with the values calcd. by means of Debye's equation, the need for further expts. above the 800° was emphasized.

W. Tomaszczyk

C.A. 1961 55. 21168e

Красильников А.Н.

1959

CrB Вендрис М. С.
С. чистое металлическое

Борно с. 165

хрома Техническое борно
хрома: 70% Cr

29,9% B

0,05% C

0,40% Fe

100,35%

(Cp)

50-60 м: мерсн, расцвое 5%

$18 - t^{\circ}$	ρ
300	0,1939
400	0,2021
500	0,2226
600	0,2249
700	0,2343
800	0,2448

(отклонение от уравнения 4%)

$$\rho = 7,808 + 15,17 \cdot 10^{-3} \tau$$

(1960)

CrB₆

6B21. О фазах, образующихся в системе хром — бор в области, богатой бором. Эпельбаум В. А., Севастянов Н. Г., Гуревич М. А., Жданов Г. С. «Ж. структури. химии», 1960, 1, № 1, 64—65.—Установлено наличие в системе Cr — B фазы, отвечающей составу CrB₆. Определены параметры решетки этой фазы (тетрагон. сингония): $a = 5,458$, $c = 7,138 \text{ kX}$, $Z = 4$.

Из резюме авторов

ж. 1961. 6

VII 1384

1960

TiB₂, CrB₂ (Cp, DZ, kp)

Крестовников А.Н., Вендрюх М.С.

В сб. научн. тр. Ин-т цветн. метал.
им. И.И. Чаплыгина, 1960, 33,
3-7.

Большой

РЖЕХ, 1962,
205261.

Б, м.

В9- VII-2653

1960

CrB₂

2Б319. Термодинамика диборида хрома. Крестовников А. П., Вендирих М. С., Изв. высш. учебн. заведений. Черн. металлургия, 1960, № 3, 13—16.—Рассчитана теплоемкость CrB₂ в интервале 23—2200° К по таблицам функций Дебая на основании найденных по ф-ле Линдемана значений частот собственных колебаний атомов Cr и B. Эксперим. данные совпадают с вычисленными в интервале т-р 300—800° К и значительно расходятся выше 800° К; стандартная энтропия CrB₂ равна 9,32 энтр. ед. Вычислены и табулированы для р-ции образования CrB₂ $\Delta S_{298} =$
 $= 0,240$ энтр. ед.; $\Delta Z_{298} = -30,07$ ккал/моль; $\Delta H_{298} =$
 $= -30,00$ ккал/моль (последняя величина принята на основании рассмотрения литературных данных).

Х. 1961.9

OM. 2d 594

1961

p, Hv(TiC, ZrC, Cr₃C₂,

BP. VI-3845

TiB₂, ZrB₂, CrB₂, AlB₁₂, TiN,
NbN, Ta₂N, MoSi₂)

p, Hv, Tb(4 HfC, NbC, SrB₆)

Борис А. С. Ворхонинова Т. С. Салехов Р. В.
Исп. АН СССР. Опг. Геол. и. Метал. 4. № 14460)

Давление пара и скорость испарения кристаллических материалов соединений в вакууме при высоких температурах

RX., 1962, 2Б385

Be

EOTL 4. 2.

1962

CrBx

13 Б456. Электрические свойства боридов, карбидов и нитридов хрома. Львов С. Н., Немченко В. Ф., Кислый П. С., Верхоглядова Т. С., Косолапова Т. Я. «Порошковая металлургия», 1962, № 4, 20—25 (рез. англ.)

Изменение электрических свойств с увеличением концентрации неметалла в системах Cr — B, Cr — C и Cr — N объяснено различным влиянием атомов B, C и N на величину перекрытия 4s- и 4p-полос Cr, на степень дефектности его d-состояний, а также различием ионизационных потенциалов этих неметаллов.

Из реюме авторов

Х-1963-13

CrB

Б99-827-61

9 Б430. Физические свойства боридных фаз хрома.
Кислый П. С., Львов С. Н., Немченко В. Ф.,
Самсонов Г. В. «Порошк. металлургия»; 1962, № 6,
50—53 (рез. англ.)

Проведено систематич. изучение электросопротивления, эффекта Холла, термо-э. д. с., теплопроводности, термич. коэф. электросопротивления, т-ры плавления и твердости, полученных с помощью порошковой металлургии боридов хрома Cr_4B , Cr_2B , CrB , Cr_3B_4 , CrB_2 . Показано, что с ростом конц-ши бора в боридах и параллельно с появлением в этих соединениях самостоятельных структурных элементов из атомов бора (цепочки, сетки, каркасы) происходит возрастание твердости, электросопротивления и теплопроводности. В том же направлении уменьшается по абрс. величина константа Холла и термо-э. д. с., претерпевающие, однако, при переходе от структуры с цепочечной конфигурацией атомов бора к сеточной ($\text{CrB} \rightarrow \text{CrB}_2$) резкий скачок. На основании характера изменения гальваномагнитных свойств и электросопротивления делается

х. 1964. 9

вывод, что вероятность заполнения 3d-оболочки хрома электронами бора в низших боридах невелика и возрастает далее с концом бора, чтобы затем снова упасть у высших боридов. Своеобразный характер изменения донорно-акцепторного взаимодействия в боридных фазах связывается с изменением типа хим. связи в них от чисто металлич. в низших боридах к сильно поляризованной ковалентно-металлической у высших боридов хрома.

Е. Жураковский

V 5805 1962

BN, CrB, MoB, TaB, WB, Mo-B, W₂B,

CrB₂, MoB₂, NbB₂, TaB₂, TiB₂, ZrB₂,

W₂B₅, HfB₂ (ω H, Cp, S^O 298)

Mezaki R., Tilleux E.W., Barnes D.W.,
Margave J.L.

Thermodynamics nuclear materials Vienna,
1962, 775-788

High-temperature thermodynamic properties of
some refractory borides.

RM, 1963, 4U88 Be, M,

elcruo Q.R.

Connieck 7496

1962

GrB, GrB₂ Nezaki R., Tilleux & W., Barnes
D. W., Margrave J. L.

Cp., S, H-H

Preprint SN-26/48. 27p (in Engl.)

1000 - 1900°K

High temperature heat con-
ducts of fifteen refractory
borides.

1962

Cr B

S. W. Tilleux, J. L. Margrave.

H₁₂₀₀ - H₂₉₈

BTT, 1962, v5, sup. 69.

Свх

1963

16 Б338. Физические свойства боридов, карбидов, витридов и силицидов хрома. Львов С. Н., Немченко В. Ф., Самсонов Г. В. «Изв. высш. учебн. заведений. Физика», 1963, № 5, 21—26

Исследованы коэф. Холла, электросопротивление, термо-э.д.с., магнитная восприимчивость и теплопроводность боридов, карбидов и нитридов Сг при комнатной т-ре. Предполагается, что электрич. свойства исследованных соединений Сг в значительной степени определяются электронной структурой самого Сг. При переходе от Сг к соединениям проводимость изменяется от преимущественно дырочной к электронной. М. Чугунова

+3

Д

Х. 1964. 16

1963

CrB₂, MoB₂, UB₄,

VII 859

TaB₂ (Tm)

Thompson R., Wood A.A.R.

Trans, Instn.Chem. Engrs, 1963, 41, N2,

Chem. Engr., N166, 51, Discuss, 55.

Refractory borides.

RM., 1963, 8541 Be,

F

Буц В.

1964

8 Б602. К вопросу о диаграмме состояния системы: хром — бор. Шамрай Ф. И., Федоров Т. Ф. В сб. «Исслед. металлов в жидк. и тверд. состояниях». М., «Наука», 1964, 255—264

Методом микроскопич. анализа уточнена и построена диаграмма состояния системы Cr—B. Сплавы приготовлялись из электролитич. рафинированного Cr и B чистотой 98,75—99%. Растворимость B в Cr в зависимости от т-ры изменяется в средах 0,08—0,1%. Подтверждено существование соединений Cr₄B, Cr₂B, Cr₃B₅, CrB и CrB₆.

З. Рогачевская

76 · 1965 · 8

Си - В

1965

7 В35. О термической стойкости боридов хрома.
Лютая М. Д., Серебрякова Т. И. «Изв. АН
СССР. Неорганические материалы», 1965, 1; № 7, 1044—1048

Исследована термич. устойчивость боридов Cr составов Cr_4B , Cr_2B , Cr_3B_2 , CrB , Cr_3B_4 , CrB_2 в порошкообразном и компактном состоянии на воздухе в интервале т-р 500—1000°. Показано, что бориды Cr в порошке практически устойчивы при нагревании на воздухе до т-ры 600°. Низшие бориды Cr (Cr_2B и Cr_3B_2) окисляются с образованием оксиборидов Cr и окиси Cr. Бориды Cr составов Cr_3B_4 и CrB_2 разлагаются при окислении, образуя Cr_2O_3 и CrB_2O_3 . При взаимодействии моноборида Cr с O_2 воздуха до 800° образуется оксиборид Cr, к-рый при повышении т-ры до 900° разлагается с образованием B_2O_3 . Установлено, что наиболее термоустойчивыми боридами в компактном состоянии являются моноборид и диборид Cr.

Из резюме авторов

РЖХ, 1966,

Боруги, карбиды, магнезиум, № 3610

Фосфориды, сульфиды

Ti, Zr, Zf, V, Nb, Ta, Cr, Mo, W

(пигментные и окисл. об-ва)

1965

Wu-Chang Chang, Chih-On-Shieh

Hua Hsueh Tung Rev, 1965, 15, 14-19

Refractory compounds.

M.E., B, 40

если п.к.

C.Q., 1965, 63, 19, 10984 б

1866

 $Cr_n B_m$

2 В38. О химической стойкости боридов хрома. Лю-
тая М. Д., Акинина З. С., Серебрякова Г. И.
«Укр. хим. ж.», 1966, 32, № 7, 686—689

Установлено, что бориды Cr составов Cr_2B , Cr_3B_2 , CrB , Cr_3B_4 и CrB_2 устойчивы в воде. Относит скорость разложения боридов в разб. и конц. HCl и H_2SO_4 практически одинакова и не зависит существенно от состава боридов Cr. Устойчивость боридов Cr в HNO_3 большая; по убывающей устойчивости боридов их можно расположить в ряд $Cr_2B > Cr_3B_2 > CrB > Cr_3B_4 > CrB_2$. Высокая устойчивость боридов Cr в разб. и в конц. HNO_3 объясняется по-видимому, образованием пассивной пленки окиси Cr, и чем больше содержание Cr в составе борида, тем устойчивее борид к воздействию HNO_3 .

По резюме авторов

д. 1967 . 2

Cr-Boride

VII-156

1966

15131a. Physical properties of chromium boride phases.
T. I. Serebryakova and B. A. Kovenskaya. *Izv. Akad. Nauk SSSR, Neorg. Mater.* 2(12), 2134-8(1966)(Russ). Some phys. properties of the following Cr boride phases were investigated: Cr₄B, Cr₃B₂, CrB, Cr₃B₄, and CrB₂. For starting materials, amorphous and cryst. B with a purity of 99.5-99.9%, electrolytic Cr with a purity of 99.8%, and chem. pure Cr₂O₃ were used. The resp. samples were prep'd. by conventional sintering and hot pressing. Samples were annealed in vacuo for 4-8 hrs. at 1500-1800° and subsequently cooled at a rate of 10-20°/min. The various phases were identified by x-rays. Microhardness was

phys. n.

C. A. 1967: 64: 4

measured by using a PMT-3 microhardness tester, at 50 g. loads; at this load microhardness is not dependent on load. The elec. resistivity and thermal expansion coeff. of the compds. studied were also detd. by using conventional methods. On the basis of the phys. properties studied, it was possible to deduce how the electronic structure, strength, and the type of bonding change with the transition from one phase to another with a simultaneous increasingly more complex structure of the elements formed by B atoms. The phases studied are basically metallic in nature with respect to their cond. A tendency towards elec. resistivity values decreasing with increasing B/Cr ratio was found. For all phases studied, a slight deviation from the linear temp. dependence on elec. resistivity was found. A relation between the nature of the change in m.p. and the magnitude of elec. resistivity was detd. The value of the thermal expansion coeff. regularly decreases with increasing B/Cr ratio, for all phases studied. The detd. relations are explained by the electronic structure of the atoms of the components.

S. A. Mersol

C₂B_x

1967

17 В23. Исследование условий получения боридов хрома. Серебрякова Т. И., Самсонов Г. В. «Ж. прикл. химии», 1967, 40, № 1, 31—6

Проведено исследование условий получения боридов Cr боротермическим методом (восстановление окиси Cr бором в вакууме). Установлено образование при 1500° CrB, а при 1600° Cr₃B₄ и CrB₂. Cr₄B и Cr₃B₂ получают непосредственным синтезом из элементов, спеканием смесей порошков при 1180° в среде Ag или сплавлением в Ag. CrB может быть еще получен при взаимодействии окиси Cr и карбида B (карбидоборный метод), в среде H₂ при 1900°. Показано, что CrB₆ представляет собой не борид, а оксиборид Cr, устойчивый в интервале т-р 1000—1300°.

Автореферат

X·1967·17

1967

ЗУ-VI-4024

NbB, TaB, VB, CrB, NiB, FeB, TiC,
ZrC, HfC, MoC, ThC, UC, ScN, HfN, ThN, UN,
TiSi, ZrSi, MnSi, FeSi, CoSi, NiSi, CeS, ThS(Cp)

Войтович Р.Ф., Шаханова Н.П.

Порошковая Металл., 1967, 7/34, 75-9.

Расчет теплоемкости шаропрочных соединений.

Be,

лен CA, 1967, 67, N6, 26516f
сп.К

CrB₄

кристал.
структура

) 18 Б422. Кристаллическая структура CrB₄. Andersson Sven, Lundström Torsten. The crystal structure of CrB₄. «Acta chem. scand.», 1968, 22, № 10, 3103—3110 (англ.) 1968

Предпринято рентгенографич. исследование (метод порошка, рентгendifрактометр, λ Cr- K_{α} и Cu- K_{α}) ряда фаз системы Cr—B, синтезированных дуговой плавкой элементов в диапазоне т-ры 1350—1600° в атмосфере Ar. Доказано, что ранее описанная фаза CrB₆ в действительности имеет состав CrB₄ (I). Параметры ромбической решетки I: $a = 4,744$, $b = 5,477$, $c = 2,866$ Å; $Z = 2$; ф. гр. $I\bar{m}mm$. Структура I определена по проекциям Паттерсона и простым и разностным синтезам электронной плотности. Уточнение структуры выполнено МНК с использованием изотропных индивидуальных тепловых поправок вплоть до $R = 0,071$. В основе структуры лежит трехмерный каркас из атомов B, к-рый может быть описан след. образом: в плоскостях, параллельных (001) атомы B группируются четверками с образованием примерно квадрат-

x · 1969

· 18

ных конфигураций с расстоянием В—В 1,68; соседние слои смешены относительно друг друга и связаны контактами В—В длиной 1,91 Å с образованием зигзагообразных цепей, проходящих в направлении оси *c*. Каждый атом В имеет в ближайшем окружении 4 атома В и три атома Сг, два из к-рых находятся от него на расстоянии 2,27 и один — 2,07 Å. В пустотах В-каркаса размещаются атомы Сг, находящиеся в сложном координац. окружении из 12 атомов В и 2 атомов Сг. Обсуждаются нек-рые кристаллохим. особенности структуры I в сравнении со структурами др. боридов.

С. В. Рыкова

1969

Cr₂B

24 Б1009. Диаграмма состояния системы хром—бор. Портной К. И., Ромашов В. М., Романович И. В. «Порошок. металлургия», 1969, № 4, 51—57 (рез. англ.)

На основании исследований образцов сплавов Cr—B, синтезированных в вакууме $>2 \cdot 10^{-5}$ мм при 1400° , методами термич. анализа, рентгенографич., металлографич., локального рентгеноспектрального анализа и измеров микротвердости фазовых составляющих, а также обсуждения лит. данных предлагается диаграмма состояния системы. Подтверждено отсутствие соединений Cr₄B, Cr₂B со структурой типа CuAl₂, Cr₃B₂ и CrB₆. Для соединения Cr₂B со структурой Mn₄B определена т-ра перитектич. разложения ($\sim 1870^\circ$). Между а-Cr и Cr₂B

X. 1969. 24

образуется эвтектика. Соединение CrB_2 находится в равновесии с тв. р-ром Cr в β -ромбоздрич. боре и образует с ним эвтектику, содержащую ~83 ат.% В и плавящуюся при ~1830°. Максим. р-римость Cr в В составляет ~2 ат.%. Соединение, известное как CrB_6 , является оксиборидом хрома и может быть получено спеканием компонентов при недостаточно высоком вакууме.

Д. А.

CrB_x

1970

) 2 E380. Измерения теплоемкости полуборидов первого ряда переходных элементов при низких температурах.
Kuentzler R. Low temperature specific heat measurements of semi-borides of the first series of transition elements. «Phys. status solidi», 1970, 41, № 1, 291—296
(англ.; рез. франц.)

Теплоемкость 19 соединений типа T_2B и $(T_aT_b)_2B$
($T = \text{Cr}, \text{Mn}, \text{Fe}, \text{Co}, \text{Ni}$) измерена в диапазоне т-р от 1,2 до 4,2° K. Определены значения коэф. электронной теплоемкости. Из полученных данных оценена ширина 3d-зоны. Библ. 21.

Cp
1,2-4,2°K

+4

op. 1971. 2



✓

TiB₂, VB₂, NbB₂, MoB₂, WB₂, HfB₂, 1970

TaB₂, CrB₂, ZrB₂ (T_m) 7 VII 5352

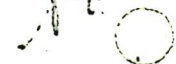
Самсонов Т.В. Курчаткин И.А.,

Докт. АН УССР, Сп. А 1970, 32(1), 104850

Первичные изоморфные соединения

алмазных переходных металлов:

IV-VI группы



14

Б № СЛ 1971, № 22, 112455

CrB_2 , TiB_2 , VB_2 , FeB , CoB , NiB ,
 CrB (T_{tr}) $\bar{\text{XV}}$ 1039

Cueilleron J., Lahet G., Thevenot F., Paris R. H.,
J. Less-Common Metals,
1971, 24, 317-22

5

CrB

1971

Hanson B.D., Mahnig H.,
Toth L.E.

Cp

Z. Naturforsch., 1971, 26a,
N4, 739-747.

• $(\text{CuV}_3\text{B}_2)_I$

GrB
= X

ВФ - 5661 - VII
1971

) 16 Б839. Система хром — бор. Lucco Borlegam,
Pradelli G. Il sistema cromo боро. «Met. ital.», 1971,
63, № 2, 61—66, 80 (итал.; рез. франц., англ., нем.)

Методами хим. анализа, рентгенографии и микроскопии на образцах, полученных твердофазной, р-цией между простыми в-вами при 1100—2000°, изучена система Cr — В в области 0—50 ат.% В. При содержании В от 0 до 0,6 ат.% в системе существует α -фаза, представляющая собой тв. р-р с кубич. структурой. При содержании В 2,5—13 ат.% (при 1100°) существует β -фаза с гексагон. структурой (a 2,760—2,739; c 4,415—4,412 Å). При повышении т-ры область существования β -фазы сужается; при 1550° β -фаза содержит 4 ат.% В; при более вы-

Tm

X. 1971. 16

соких т-рах β -фаза отсутствует. При 28,75—32,5 ат.% В существует γ -фаза, имеющая ромбич. структуру типа Mn_4B , где позиции 16(e) почти полностью заняты атомами В, что исключает существование соединения Cr_4B . γ -фаза и Mn_4B при 1050° образуют непрерывный ряд тв. р-ров. В интервале составов 37,5—39,75 ат.% В (при 1100°) существует фаза (δ) с тетрагон. структурой;

при содержании В 38,04 ат.% δ -фаза имеет параметры решетки: $a = 5,48$, $c = 10,01\text{ \AA}$. Между α - и γ -фазами имеется эвтектика при 1570° и 11,3 ат.% В. γ - и δ -фаза плавятся инконгруэнтно соотв. при 1855 и 1895 $^\circ$. И. Н. Семенов

CrB₂

78505g Spin fluctuation effects in nearly antiferromagnetic vanadium and chromium diborides. Castaing, J.; Costa, P.; Heritier, M.; Lederer, P. (Off. Natl. Etud. Rech. Aerosp., Chatillon, Fr.). *J. Phys. Chem. Solids* 1972, 33(2), 533-47 (Eng). The 1st transition series diborides are isomorphous compds. from ScB₂ to MnB₂. They all show metallic behavior and are paramagnetic up to VB₂; CrB₂, on the contrary, is anti-ferromagnetic ($T_N = 86^\circ\text{K}$) with a small magnetic moment in the ordered state, which suggests the occurrence of itinerant-spin magnetism. Heat-capacity measurements on V_{1-x}Cr_xB₂ show a sharp max. of the electronic sp. heat for $x \sim 0.8$, correlated with the onset of long-range antiferromagnetic ordering as given by magnetic susceptibility measurements. The existence of local effects cannot explain by itself the obsd. sp. heat enhancement. The existence of similar phenomena in the isoelectronic Mo_{1-x}Cr_xB₂ alloys suggests that large-amplitude spin fluctuations contribute to the renormalization of the 1-electron energies in a significant way. The free energy of the electron gas is computed in the random-phase approxn. Only intraat. interactions are taken into account. Various phenomenol. models are capable of yielding significant spin fluctuation effect.

1972

C.A. 1972

76.19

1972

CrB

2

133381r Calorimetric and resistive investigation of the magnetic properties of chromium diboride. Castaing, J.; Danan, J.; Rieux, M. (Off. Natl. Etud. Rech. Aeronaut., Chatillon, Fr.). *Solid State Commun.* 1972, 10(6), 563-5 (Eng). As previously suggested, sp. heat (15-250°K) and elec. resistivity (4.2-125°K) measurements show that CrB₂ is an itinerant antiferromagnet ($T_N \sim 85^{\circ}\text{K}$). These results also agree with the assumption of spin fluctuations in CrB₂ and its alloys.

T
Neel

C.A. 1972

Pb. 22

1974

CrB

(Tm)

1973y Chrome borocarbides. Pradelli, G. (Ist. Chim. Gen. Metall., Politec. Torino, Turin, Italy). *Metal. Ital.* 11, 66(10), 551-6 (Ital). In the ternary system B-Cr-C, the following phases are stable at 1450°: a cubic solid soln., α , with 15 at. % B; a hexagonal phase, β , with 3-9.34 at. % B; a cubic phase, γ , with 28.9-32.3 at. % B and systematically larger in Cr than Cr₂B; a tetragonal phase, δ , of about the composition Cr₃B₃ with 37.5-39.75 at. % B at 1450°; and the rhombohedral CrB; the α and γ phases form a eutectic, m.p. 1570°, with 11.3 at. % B. High purity elements, Cr-B, and Cr-C alloys were used to prep. samples by solid reaction through diffusion, reaching equil. after 30 hr and 1450°. Other samples were prepared by fusion in controlled atm., either in an elec.induction furnace or an elec. arc furnace on a water cooled Cu plate, the samples being chem. analyzed after fusion. Cause of systematic loss of B loss. The solid solns. Cr₂(C,B)₆, Cr₃(C,B)₃, and Cr₃(C,B)₂, both sintered and fused samples, were examined extensively by means of x-ray diffractometry. Metallog. tests were also conducted.

M. Mannheimer

CA 1975 82 N10

40701.8442

29422

02

1974

Ch, Ph, TG

CrB₂

2215

Samsonov G.V., Bolgar A.S., Guseva E.A.,
 Klochkov L.A., Kovenskaya B.A., Serebrya-
 kova T.I., Timofeeva I.I., Turchanin A.G.,
 Fesenko V.V. Thermophysical properties of
 transition metal carbides and diborides.
 "High Temp.-High Pressure", 1973, 5, N1, 29-
 33
 (акт.)

115 119 1 3 2 0.140 0.003 ВИНИТИ

CrB_6

Arabi S. S.

1976

(T_m)

Zav. Akad Nauk SSSR,

Neorg. Mater. 1976, 12(9)

1683 (Russ)

(cui EuB_6 ; T)

СчВх № 4 Б942. Система хром — бор. Gu C. N., Uraga A. A.
The chromium-boron system. «J. Less-Common Metals»,
1976, 48, № 2, 199—203 (англ.)

1976

Рентгеновским методом изучена система Cr—B (до 80 ат. % B). Образцы получены многократной переплавкой в дуговой печи спрессованных таблеток смесей Cr и B с послед. отжигом при 1600°. Методом бестигельной зонной плавки (скорость движения зоны 0,5—2 см/час) выращены крупные монокристаллы Cr_2B , CrB и CrB_2 . В системе образуется пять соединений: Cr_2B (в области 0—33 ат. % B), Cr_5B_3 , CrB , Cr_3B_4 и CrB_2 . Фаза Cr_2B имеет ромбич. решетку типа Mn_4B (ф. гр. $Fddd$) с параметрами $a = 14,71$, $b = 7,41$, $c = 4,25\text{\AA}$; фаза Cr_5B_3 имеет тетрагон. решетку (ф. гр. $I4/\bar{pm}c$) с параметрами $a = 5,46$, $c = 10,46\text{\AA}$; фаза CrB — ромбич. (ф. гр. $Cmcm$) с параметрами решетки $a = 2,969$, $b = 7,858$, $c = 2,932\text{\AA}$; фаза Cr_3B_4 также ромбич. решетку (ф. гр. Imm) с $a = 2,984$, $b = 13,02$, $c = 2,953\text{\AA}$ и фаза CrB_2 — гексагон. решетку типа CaB_2 (ф. гр. $P6/mmm$) с параметрами $a = 2,969$, $c = 3,066\text{\AA}$. Для монокристаллов CrB характерно двойникование.

Л. В. Шведов

*Южстад
Структура*

*X. 1976
НЧ*

61216.8851
Ch, Ph, TC

58815GR

1976

(CrB₂/Ttr)

XVII-2637

Tanaka Takaho, Nozaki Hiroshi, Ba-
nnai Eisuke, Ishizawa Yoshio, Kawai
Shichio, Yamane Tsuneko.

Preparation and properties of CrB₂ single
crystals.

"J. Less Common Metals", 1976, 50, N 1,
15-21 (англ.)

0768 ГРЖ

Б

735 741 760

ВИНИТИ

CrB

CrB₂ (π)

1974

Bardin I., et al

mau II, crnp. 207

298-1200



(cuc Ag) I

1977

СrB₂

*магнитная,
Кристал.
Суперкуб.*

5 Б367. Геликоидальная магнитная структура CrB₂. Funahashi S., Hamaguchi Y., Tanaka T., Banmai E. Helical magnetic structure in CrB₂. «Solid State Communns», 1977, 23, № 11, 859—862 (англ.)

Нейтронографически [трехосный нейтронный спектрометр, 1A, и 2A, монохроматор — монокрист. пирографит, анализатор Ge (111) — для удаления высших порядков отражения] исследована магнитная структура CrB₂ (I) на монокрист. образце размером 7×30×0,2 мм³, ориентированном по базисной плоскости гексагон. решетки I. Малая толщина кристалла выбрана вследствие сильного поглощения тепловых нейтронов ядрами бора. Измерялась интенсивность лауэвских отражений в зоне [0001]. Наряду с ядерными рефлексами, интенсивность к-рых с т-рой существенно не изменилась, наблюдались магнитные сателлиты, указыва-



Х. № 5, 1978

ющие на наличие в I геликоидальной магнитной структуры с волновым вектором $\tau = 0,285 \tau_{110}$ (τ_{110} — вектор [110] обр. решетки I), несоизмеримым с крист. решеткой. Магнитные сателлиты исчезают выше $T_N = 84^\circ\text{K}$, причем их положения ниже T_N изменяются слабо. Величина магнитного момента оценивается в $0,5 \pm 0,1 \mu_\text{B}$. Сделан вывод о циклоидальном характере магнитной структуры I, с вращением в плоскости $c - a$ с периодом $1,76 a$. Ввиду сильного влияния поглощения нейтронов для выяснения вопроса о том, не является ли описанная структура упрощенной схемой более сложной реальной структуры I требуется исследование изотопич. монокристалла.

С. Ш. Шильштейн

ЗР-XVII-3056 1978

СrB₆

17 Б1029. О диаграмме состояния системы Сr—В.
Арабей Б. Г., Глухов В. А. «Изв. АН СССР.
Неорган. материалы», 1978, 14, № 4, 662—664

В связи с противоречивостью сведений о характере равновесия в системе Сr—В в области, богатой бором, проведено исследование этой части системы. Установлено, что разнотечение полученных результатов может быть связано с тем, что в ряде работ не применялся химанализ на бор после синтеза образцов и при этом не были учтены потери бора в процессе термич. обработки и плавления образцов смесей Сr—В. Получено соединение СrB₆ (I), изучены нек-рые его св-ва, определены пределы области гомогенности. По результатам термич. рентгеноструктурного и металлографич. анализов построена часть диаграммы состояния системы Сr—В в области, богатой бором. Т. пл. I
 $1910 \pm 30^\circ$.

Автореферат

Х: 1978/17

CrB₆

BP - XVII-3056

1978

88: 198695p Phase diagram of the chromium-boron system.
Arabei, B. G.; Glukhov, V. A. (USSR). *Izv. Akad. Nauk SSSR, Neorg. Mater.* 1978, 14(4), 662-4 (Russ). The Cr-B system was studied by thermal, x-ray phase, and metallog. anal. The homogeneity region of CrB₆ (m. $1910 \pm 30^\circ$) is 12.8-15.2 at. % Cr. The eutectic temps. for liq. \rightarrow CrB₆ + CrB₂ and liq. \rightarrow CrB₆ + β -B (1760 ± 30 , $1700 \pm 30^\circ$) agree with published values.

(Tin)

C.A. 1978, 88, N26

C_2B

$C_{25}B_3$

1979
degarozska L; et al.

биокаталог. F. des. - Common, Met.

Ter

1979, 67 (1), 249-55

(see NtB_2 ; I)

(CrB)
CrB₂
Cr₅B₃

(C_P)

ВР-XVII-ЗДС5.

1979

8 Б636. Магнитные и термические свойства некоторых фаз Cr—B при низких температурах. Leyagovska L., Leyagovski E., Poroč Chr., Middalaz T. The magnetic and thermal properties of some Cr—B phases at low temperatures. Proceedings of the 6th International Symposium on Boron and Borides, Varna, 1978. «J. Les—Common Metals», 1979, 67, № 2, 389—398 (англ.)

Для покрист. и спеченных образцов CrB, CrB₂ и Cr₅B₃ в широком интервале т-р и напряженностей внешнего магнитного поля исследованы статич. магнитная восприимчивость (χ), уд. теплоемкость (C) и магнитокалорич. эффект. Установлено, что для всех 3 соединений χ монотонно возрастает при понижении т-ры. В высокот-рной области кривые $\chi(T)$ хорошо описываются ур-нием Кюри-Вейсса с отриц. константой Вейсса, что указывает на антиферромагнитные характеристики.

X. 1980, N8

тер магнитного перехода, к-рый происходит при $T_N = 80 - 90$ К. Эффективный магнитный момент уменьшается при переходе к образцам с большими концами хрома. Насыщение магнитного момента не наблюдалось в полях вплоть до 90 кэрстед. В соответствии с антиферромагнетизмом исследованных соединений, магнетокалорич. эффект в них меняет знак на отриц. при т-рах $20 - 77$ К в полях $H \geq 80$ кэрстед. Изменения энтропии в точке антиферромагнитного перехода, полученные из С, существенно меньше ожидаемых в модели локализованных моментов. Отмечено, что эксперим. данные могут быть объяснены в рамках модели антиферромагнетика с коллективизированными электронами.

В. М. Новоторцев

дые
ри

CrB_2

Malokozi A. et.

1979

(ΔH_f)

J. Less-Common Metals,
1979, 64(1), 145-53.

(corr. ScB_2 ; \bar{I})

CrB_2

1980

Mulokozi Adolf M.

DHF

J. Hess - Common Metals,
1980, II, N1, 105-111.

● (see ScB_2) I

CrB_2

1981

Wang, Wen-Kui.

Wu Li 1981, 10(3),

ΔfH ;

150 - 151.

($\text{Cu} \cdot \text{Ti} \overset{\bullet}{\text{B}}_2$; I)

CrB - MnB

1982

*payobal
guaparana*

1982: 149966j Phase diagram of pseudobinary chromium(III) boride-manganese(III) boride and manganese(III) boride-iron(III) boride systems: crystal structure of the low-temperature modification of iron(III) boride. Kanaizuka, Tadahito (Fac. Sci., Kyoto Univ., Kyoto, Japan). *J. Solid State Chem.* 1982, 41(2), 195-204 (Eng). Phase diagrams of pseudobinary CrB-MnB and MnB-FeB systems were studied from 600 to 2400°. In the $\text{Cr}_x\text{Mn}_{1-x}\text{B}$ system, both the CrB and the FeB type structures could be obtained as temp. modifications in the compn. range between $x = 0.35$ and 0.80 . Low-temp. modifications were obtained, i.e., the MoB-type structure for CrB and the mixed stacking variants of the CrB- and the FeB-type structures for MnB and FeB. A model structure of the low-temp. modification of FeB is proposed.

(A) ~~AZ~~

c.a. 1982, 96, n18

MnB - FeB (рас. гиаг.)

CrB

1983

) 9 Б2159. Наблюдения за ростом кристаллов со-
става CrB. Observations sur la croissance du composé
CrB. Натаг R., Натаг-Тибault S. «J.
Growth», 1983, 63, № 2, 365—372 (фр.; рез. англ.)

Выведены теорет. модели равновесной морфологич. формы, связанной с равновесной Пв энергией, и формы роста кристаллов CrB, определяемой энергией присоединения, и показано, что первая имеет гораздо больше возможных граней, чем вторая. Эксперим. наблюдение в электронном микроскопе за габитусом проведено на кристаллах, полученных при затвердевании сплава Ni-Cr-B, в к-ром фаза CrB выделяется 1-й. Основное направление роста [001]. На кристаллах развиваются грани (020) и {130}; фасетки {111} появляются редко. Сделан вывод, что такая морфология соответствует равновесной модели, а не модели роста.

Б. А. Ляховицкая

Х. 1984, 19, № 9.

$\text{Cr}_3\text{B}_7\text{O}_{13}\text{Cl}$,

1983

, 19 Б3168. Исследование нового фазового перехода орторомбический — моноклинный в хром-хлор бораците $\text{Cr}_3\text{B}_7\text{O}_{13}\text{Cl}$ с помощью поляризованного света. Polarization optical study of a new orthorhombic-monoclinic phase transition in chromium-chlorine boracite, $\text{Cr}_3\text{H}_7\text{O}_{13}\text{Cl}$. Mendoza Alvarez María Eugenia, Rivera Jean-Pierre, Schmid Hans, Wildermuth Gerhard. «Ferroelectrics», 1984, 55, № 1—4: Proc. 5th Eur. Meet. Ferroelectr. (EMF—5), Benalmádena, Malaga, Sept. 26—30, 1983. Pt 3, 881 (англ.).

Методами ДСК и поляризации света изучен переход 1-го рода (при отсутствии эл. поля) ромбич. модификации $\text{Cr}_3\text{B}_7\text{O}_{13}\text{Cl}$ в монокл. форму. Показано, что для перехода характерны небольшое изменение энталпии (0,12 кДж/моль), большой т-рный интервал и термический гистерезис (при нагреве переход протекает при 175—187 К, при охлаждении при 161—146 К). Л. В. Шведов

фазовый
переход

Х. 1984, 19, N 19

Борисов Ср

1984

Фодегар А.С., Сербова М.И. и др.

8 Мезидукунар. селен. по бору,

H-H_O, борсодай, карбонаты, метриды
Ср и роговит. соедин., Тоболесе, 8-12
окт., 1984. Тез-доки. Тоболесе,
1984, 78-79.

(ав. Борисов Hf; ?)

1984

CrB, CrB₂

13 В9. К вопросу о получении боридов хрома и изучение их свойств. Картьвелишвили Ю. М., Мчедлишвили Д. И. «8 Междунар. симп. по бору, боридам, карбидам, нитридам и родствен. соедин., Тбилиси, 8—12 окт., 1984. Тез. докл.» Тбилиси, 1984

Восстановлением Mg, Ca, CaH₂ или Al смеси элементарного В или B₂O₃ с CrCl₃ получены CrB (I) и CrB₂ (II), характеризующиеся чистотой 99,8—99,9%. Изучены термодинамич. и кинетич. параметры, механизм образования I и II, установлены оптим. технологич. параметры р-ций их образования. Зернистость порошков I и II 4,0—500 мкм, прочность 670—1000 г/зерно. При наплавлении порошков I и II на плиты из стали Ст—3 твердость Пв наплавки 82—88 HRA, микротвердость 1600—1700 кг/мм², причем твердость сохраняет высокие значения при нагреве образцов до 1200° С. Порошковые ленты, шихта к-рых содержит I и II, обладают хорошими технологич. св-вами, а сплавы, наплавленные этими электродными материалами, характеризуются высокой износостойчивостью в условиях абразивного и газоабразивного вида износа.

Б. Варфоломеев

термоф.
наплавка

Х. 1985, 19, N 13

СиВ₂ Кузнецова Н.Т., Голованова А.И. 1984
и гр.

Селенитуар. селн. по бору, бо-
риодол, карбидол, кеимпрес
и родств. соег.; Тюмень, 8-12
окт., 1984. Физ. докт. Тюмень,
1984, 33.

(см. NiВx, I)

СгВ

1984

СгВ₂, Сг₅В₃

15 Б3026. Аномалия теплоемкости боридов хрома ниже 1 К. Леяровска Л. Н., Леяровски Е. И. «8 Междунар. симп. по бору, боридам, карбидам, нитридам и родствен. соедин., Тбилиси, 8—12 окт., 1984. Тез. докл.» Тбилиси, 1984, 157

Ниже 1 К обнаружена аномалия теплоемкости стехиометрич. боридных фаз СгВ (I), СгВ₂ и Сг₅В₃. Для I представлен график зависимости C/T от T^2 в интервале 0—36 К, где отклонение C/T от линейности наблюдается ниже 1 К. Это отклонение уменьшается в магн. поле 50 кЭ. Высказываются возможные причины аномалии.

А. С. Гузей

(p)

X. 1985, 19, N 15

Cr₂B₃

1985

12 Б3257. Получение монокристаллов нового борида Cr_2B_3 с использованием алюминиевого флюса и некоторые его свойства. Preparation of single crystals of a new boride Cr_2B_3 by the aluminium-flux technique and some of its properties. Okada S., Atoda T., Higashi I., Takahashi Y. «J. Less-Common Metals», 1985, 113, № 2, 331—339 (англ.)

Монокристаллы нового борида Cr_2B_3 выращены из расплава $\text{Cr}-\text{B}-\text{Al}$ при охлаждении с 1100—1500 до 1000°C со скоростью 50 град/ч, с последующим охлаждением до 25°C . Расплавление компонентов проводилось в тигле из Al_2O_3 в атмосфере Ar . Показано, что оптимальными условиями для выращивания монокристаллов Cr_2B_3 при использовании Al-флюса являются ат. отношения исходных элементов $\text{B/Cr}=1,55$ и $\text{Al/Cr}=28,9-38,5$; максим. т-ра нагрева смесей 1500°C . Cr_2B_3 характеризуется ромбич. структурой с параметрами решетки $a=3,027$; $b=18,119$; $c=2,954$ Å (ф. гр. $Cmcm$, $C2cm$ или $Cmc2_1$). При окислении Cr_2B_3 на воздухе в обл. т-р $850-1000^\circ\text{C}$ образуются CrB и B_2O_3 , а при $1050-1200^\circ\text{C}$ дополнительно появляется CrBO_3 .

п. в. III пологов

IV, 1986, 19, N 12

DM. 21536

1985

СрВ₂
19 Б3038. Определение молярной энталпии образования CrB₂ методом высокотемпературной калориметрии. Molar enthalpy of formation of CrB₂ by high-temperature calorimetry. Торог Letitia, Kleppa O. J. «J. Chem. Thermodyn.», 1985, 17, № 2, 109—116 (англ.)

Для определения станд. энталпии образования ($\Delta H^{\circ}_{f,298}$) тв. CrB₂ (I) использован высокот-рный дифференциальный калориметр Кальве и измерены энталпии процессов $(0,58/0,14)M$ (кр., T_1) + I (кр., T_1) = $= (1/0,14)M_{0,58}B_{0,28}Cr_{0,14}$ (ж., T) (1) и $(0,58/0,14)M$ (кр., T_1) + 2B (кр., T_1) + Cr (кр., T_1) = $= (1/0,14)M_{0,58}Ba_{0,28}Cr_{0,14}$ (ж., T) (2), где M=Pt, Pd или Ni, $T_1 \approx 298$, $T \approx 1400$ К. Для Pt было проведено 2 серии измерений с ат. долей Cr в жидк. сплаве 0,14 и 0,13. С использованием лит. данных о высокот-рных энталпийных инкрементах элементов рассчитаны $-\Delta H^{\circ}(f, 298, I)$ равные $117,1 \pm 9,0$; $124,9 \pm 10,3$; $121,6$ и $117,6 \pm 7,8$ кДж/моль из измерений для Pt (2 серии), Pd и Ni соотв. Вычисленное средневзвешенное значение $\Delta H^{\circ}(f, 298, I)$ составило $-119,4 \pm 3,4$ кДж/моль. Отмечено, что в ряду диборидов 3d-металлов $\Delta H^{\circ}_{f,298}$ закономерно уменьшаются, что связано с уменьшением прочности связей металл—бор.

П. М. Чукуров

Х. 1985, 19, N 19

1985

CrB
Cr₂B₄
CrB₂

получение,
параметры
решетки,
плотность

16 Б2151. Получение монокристаллов CrB, Cr₃B₄ и CrB₂ из раствора-расплава алюминия. Okada S., Atoda T., Higashi I., Takahashi Y. «Нихон кагаку кайси, J. Chem. Soc. Jap., Chem. and Ind. Chem.», 1985, № 1, 1—8 (яп.)

Монокристаллы CrB, Cr₃B₄ и CrB₂ получены р-цией элементарных Ст и В в расплавленном Al в атм. аргона. Оптим. отношения исх. компонентов B/Cr и Al/Cr, т-ра реакции и время процесса: для CrB B/Cr=0,8, Al/Cr=28,9, 1500°С и 10—20 ч.; для Cr₂B₄ B/Cr=1,33, Al/Cr=29,9, 1500°С и 10 ч.; для CrB₂ B/Cr=2,0, Al/Cr=28,9—38,2, 1500°С, 10—20 ч. CrB — орторомбич. кристаллы в виде удлиненных призм, растущих в направлении <100> и <001>. Cr₂B₄ — тонкие пластинки и трапециоэдры, ограниченные (010). CrB₂ — гексагон. призмы, толстые пластины с гранями (0001). Определены параметры решетки, плотность и микротвердость кристаллов.

В. А. Ляховицкая

Х. 1985, 19, N 16.

CrB_2

(Om. 21536)

1985

102: 138659c Molar enthalpy of formation of chromium boride (CrB_2) by high-temperature calorimetry. Topor, Letitia; Kleppa, O. J. (James Franck Inst., Univ. Chicago, Chicago, IL 60637 USA). *J. Chem. Thermodyn.* 1985, 17(2), 109-16 (Eng). The std. molar heat of formation of CrB_2 [12007-16-8] was detd. calorimetrically by bringing the boride to reaction with solid Pt, Pd, or Ni (M) at (1400 ± 2) K to form a $((1 - 3x)\text{M} + 2x\text{Cr} + x\text{B})(l)$ alloy. The weighted av. of the results of 4 was -119.4 ± 3.4 kJ/mol.

(SfH)

C. A. 1985, 102, N16.

LiB_2

(OM 22651)

1985

Topor L., Kleppa O. J.,

J. Chem. Thermodyn.,
1985, 17, N 11, 1003-1016.



CrB_{0.99}

(DD. 24079)

1986

CrB_{1.99}

Bolgar A. S., Lyashchenko
A. B., et al.,

Geoekologo-
mechans.

J. Less-Common Metals,
1986, 117, 303-306.

Hf-Ho,

Cp;



$\text{CrB}_{0.99}$; $\text{CrB}_{1.99}$ 1986
Bolgar A.S.,
Liyashchenko A.B., et al.

$\text{Cp}, \text{H}_T - \text{H}_U$ J. Less-Common Met.
gp. meprug. 1986, II, 303-6.
 Cb-Ba

(cer. HfB_2 ; I)

BzBz

LM. 25157 |

1986

Burdett J.R., Canadell E.,
Miller G.J.,

ΔH_f , ΔH_g
(oxygen) (oxygen)

J. Amer. Chem. Soc.,
1986, 108, N21, 6551-

-6568.

Cr_2B

1986

Kato Tetsuro,
Yoshimura Masahiro
et al.

Cys.

chad. Rep. Res. Lab. Eng. Mater.

part 6 Tokyo Inst. Technol.,

Received

Si₂-Cr-N-B. 1986, 11, 45-9. I

(ccr. Si_3N_4 ; X)

Cr_2B

Cr_2B_3

CrB , Cr_3B_4

CrB_2 , CrB_4

(могут
гасить)

C.A. 1987, 106, N 22

1986

106: 183422p (The boron-chromium system. Liao, P. K.; Spear, K. E. (Mater. Res. Lab., Pennsylvania State Univ., University Park, PA 16802 USA). *Bull. Alloy Phase Diagrams* 1986, 7(3), 232-7, 295-6 (Eng). The critically assessed phase diagram is presented. Six intermetallic phases are formed: Cr_2B , Cr_2B_3 , CrB , Cr_3B_4 , CrB_2 , and CrB_4 . Crystal structure and thermodn. data are also available.)

1988

CrB₂C

(CrB, Cr₅B₃,

Cr₃B₄)

Биндер А.В.,

Автореферат диссертации

кандидата наук на соискание

ученой степени к.х.н.)

С, ИТ-Но

Люб,

1988.

Prz B

[Om. 28 777]

1988

Калошин С.Д., Пони-
ческ И.А.,

ДНТ,
Озерецко

Изв. Выш. Упр. Неманур-
кил, 1988, №3, 4-6.

Применение
образований

Озерецко методом
неподвижных

справить меня №3 В.

Gr.Bz

[OM. 35467]

1991

Балынгер А.Б., Болкап А.С.,

Тендеорх. биология -
(р. Н-Но) памыр. 1991, 29, № 2,
281-285.

РБе

Ом 36169

1991

4 Е179. Термодинамические свойства боридов хрома в широкой области температур / Болгар А. С., Блиндер А. В., Сербова М. И. // Укр. хим. ж.— 1991.— 57, № 10.— С. 1060—1064

Проведено эксперим. исследование теплоемкости и энталпии моно- и диборида хрома в интервале т-р 150—2200 К. Установлено, что высокотемпературную теплоемкость CrB₂ можно представить как сумму электронной и гармонич. частей решеточной составляющей, а для моноборида существенным является вклад, обусловленный ангармонизмом колебаний атомов кристаллич. решетки вещества.

(P)

оф. 1992, № 4

CrB

Болат А.С. и др.

1991

CrB₂

Укр. Учен. віс., 1991, 57, №10, 1059-1064

Термодин. св-ва боридов хрома
в широкій області Т-р

H-H₀

C_p

(150-2200K)

Ом. 36169

отмінено в
Казахстані Берлекану

BrB₂ DM. 35882) 1991

Fernández Guillermet A.,
S. 298, Grinvald F.,
Mepuog. J. Less-Common Metals,
1991, 169, 257-281.

$\text{CrB}(k)$
 CrB_2

01136169

1991

116: 137192c Thermodynamic properties of chromium borides over a wide temperature range. Bolgar, A. S.; Blinder, A. V.; Serbova, M. I. (Inst. Probl. Materialoved., Kiev, USSR). Ukr. Khim. Zh. (Russ. Ed.) 1991, 57(10), 1060-4 (Russ). The heat capacities and enthalpies of CrB and CrB_2 were detd. exptl. at 150-2200 K. The high-temp. heat capacity of CrB_2 can be represented by the sum of electronic and harmonic lattice contributions; that of CrB is essentially due to the anharmonic vibrations of the atoms in the cryst. lattice.

$(C_p, H_T - H_0)$

C.A. 1992, 116, N 14

36/69 1991

BrB
CrB₂
($\rho, H - H_0$)
X. 1992, N 9

> 9 Б3015. Термодинамические свойства боридов хрома в широкой области температур / Болгар А. С., Блиндер А. В., Сербова М. И. // Укр. хим. ж.— 1991. — 57, № 10.— С. 1060—1064.— Рус.; рез. англ.

В интервале т-р 150—675 К измерена теплоемкость, а в области 440—2200 К — энタルпия боридов хрома. Низкот-рные значения C_p табулированы. Для интервала 298—2200 К получены след. аппроксимации:
 CrB $H_T^0 - H_{298}^0 = 8,784 \cdot 10^{-3} T^2 + 35,629 T + 366\ 845/T - 72\ 634$ Дж/моль, $S_T^0 = 1,757 \cdot 10^{-2} T + 35,629 \ln T + 183\ 423/T^2 - 175,165$ Дж/моль·К; CrB_2 $H_T^0 - H_{298}^0 = 4,260 \cdot 10^{-3} T^2 + 68,270 T + 1\ 576\ 090/T - 26\ 020, S_T^0 = 8,580 \cdot 10^{-3} T + 68,270 \ln T + 788\ 045/T^2 - 361,498$. Установлено, что высокот-рную теплоемкость CrB_2 можно представить как сумму электронной и гармонич. частей решеточной составляющей, а для моноборида существенным также является вклад, обусловленный ангармонизмом колебаний атомов кристаллич. решетки вещества. Соответствующие характеристич. т-ры рассчитаны.

А. С. Гузей

CrB_2

1991

115: 58195b Interaction of silicon carbide with chromium-diboride. Ordan'yan, S. S.; Dmitriev, A. I.; Kapitonova, I. M. (Leningr. Tekhnol. Inst., Leningrad, USSR). *Izv. Akad. Nauk SSSR, Neorg. Mater.* 1991, 27(1), 157-9 (Russ). A phase diagram was constructed for the SiC-CrB₂ system, in which the eutectic point is at $2030 \pm 30^\circ$ and a compn. of 25 mol.% SiC and 75 mol.% CrB₂. The liquidus line was detd. only up to 2400° .

КРКАНІЗУУ
(СіС)

C.A. 1991, 115, N6

Cr₂B

1992

10 Б3050. Получение боридов хрома твердофазной реакцией хрома с аморфным бором /Iizumi Kiyokata, Yoshikawa Nobukazu, Kouno Satoko, Okada Shigeru, Kudaka Katsuya, Lundström Torsten //Nippon kagaku kaishi =J. Chem. Soc. Jap., Chem. and Ind. Chem. .—1992 .—№ 11 .—С. 1320—1325 .—Яп. ;рез. англ.

Твердофазной р-цией Cr с аморф. В при 600—1500° С в течение 2 ч в среде аргона получены бориды хрома: Cr₂B, Cr₅B₃, CrB, Cr₃B₄, Cr₂B₃, CrB₂ и CrB₄ (исходные соотношения B/Cr=0,10—2,94). Исходное соотношение элементов приводит к образованию различных фаз. При большом избытке В (B/Cr=1,04 и 2,15) при 600° С образуется Cr₂B, при 1500 и 1400° С — Cr₂B и CrB₂, остальные фазы — при т-рах 600—1500° С при различных соотношениях исходных в-в. При соотношении B/Cr=1,04 при т-ре выше 1400° С наибольший выход фазы CrB, помимо Cr₅B₃. Оптим. условия получения Cr₂B и CrB₂: время 2 ч, т-ра 1500 и 1400° С, соотношение B/Cr 0,5 и 2,15 соотв. Приведены параметры решетки боридов хрома. Л. Г. Титов

X. 1993, N 10

CrB_2

1992

Krepenchenko A. V.,
Magomedbekov E. P.

Сеидбеков-
коев,

Zh. Neorg. Khim.
Каюмов и др. 1992, 37(1), 174-81.

(ccc. ZrB_2 , I)

Cr₂B

1993

Бицубисов Б.Т.,

Металлы, 1993, N3, с. 35-38

(Sf) Термическое образование
распадаючихся элементов Cr-B-C

Р.21.97. N9, 1993, 94214

CrB

1996

2 Б2159. Получение монокристаллов CrB по реакции между порошками оксида хрома и аморфного бора / Okada Shigeru, Iizumi Kiyokata, Ogino Tomoyuki, Kudaka Katsuuya, Kudou Kunio // Nippon kagaku kaishi = J. Chem. Soc. Jap. — 1996, № 3. — С. 260—263. — Яп.; рез. англ.

По р-ции между порошками сесквиоксида хрома и аморфного бора при т-рах 1400—1700 °С в атмосфере аргона (0,15 МПа) получены монокристаллы CrB максимального размера $3,3 \times 0,6 \times 0,6$ мм³. Кристаллы обладают призматич. формой, вытянутой в направлении

<001> ромбич. симметрии. Определены структура, со- противление и микротвердость по Виккерсу.

В. Л. Лебедев

получение

л. 1997, № 2